

- [6] Жиляев Ю.В., Маркарян Г.Р., Россин В.В., Россина Т.В., Травников В.В. // ФТТ. 1986. Т. 28. № 9. С. 2688–2695.
- [7] Aaviksoo J., Reimand I., Rossin V.V., Travnikov V.V. // Phys. Rev. B. 1992. V. 43. N 3. P. 1473–1476.
- [8] Ashkinadze B.M., Cohen E., Ron A., Pfeiffer L. // Phys. Rev. B. 1993. V. 47. N 16. P. 10613–10618.

Физико-технический институт им. А.Ф. Иоффе РАН
Санкт-Петербург

Поступило в Редакцию
22 декабря 1993 г.

© Физика твердого тела, том 36, № 6, 1994
Solid State Physics, vol. 36, N 6, 1994

ГЕНЕРАЦИЯ ЛОКАЛЬНЫХ ПОВЕРХНОСТНЫХ ПЛАЗМОНОВ В МАЛЫХ КЛАСТЕРАХ СЕРЕБРА НА ГРАФИТЕ

Ю.С. Гордеев, М.В. Гомоюнова, В.М. Микушин,
И.И. Пронин, С.Е. Сысоев

Важным вопросом при изучении электронных свойств кластеров является установление закономерностей формирования в них плазменных колебаний в зависимости от размера частиц. Имеющиеся в этой области результаты получены главным образом с помощью оптических методов, а также методом спектроскопии потерь энергии электронов (СПЭЭ) на прострел [1]. При этом большинство данных относится к области достаточно больших частиц диаметром выше 100 Å и вопрос определения минимальных размеров кластеров, в которых могут существовать коллективные моды электронных возбуждений, до сих пор не решен.

Целью настоящего исследования было изучение размерного эффекта в спектре плазменных колебаний малых кластеров серебра, сформированных на поверхности графита. Основные результаты получены с помощью СПЭЭ на отражение. Нам известна лишь одна работа [2], в которой данный метод ранее использовался для изучения кластеров и была обнаружена размерная зависимость одной из характеристических одноэлектронных потерь энергии в кластерах меди на графите.

Настоящая работа выполнена на электронном спектрометре LHS-11 фирмы «Leybold-AG», обладавшем энергетическим разрешением $\Delta E = 1.1$ eV. Измерения проводились в режиме счета отдельных импульсов при токах первичного пучка 10^{-8} Å. Энергия падающих электронов варьировалась в диапазоне 0.2 – 1.5 keV. Кластеры формировались *in situ* напылением серебра на поверхность широлитического графита, очищенную методом скола в сверхвысоком вакууме. Более подробно этот процесс описан в работе [3]. Средний радиус частиц, монотонно увеличивающийся с дозой напыленного Ag, оценивался в соответствии с данными работ [4,5] и варьировался в интервале от 3 до 20 Å. Контроль состояния поверхности образцов проводился методами рентгено-электронной и оже-спектроскопии. При этом особое

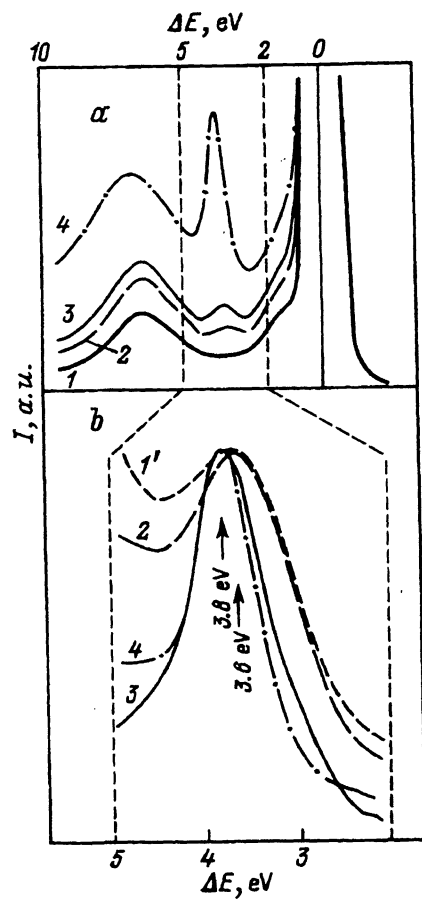


Рис. 1. а) Спектры потерь энергии электронов для чистого графита (1), кластеров серебра на графите (2,3) и массивного серебра (4). б) Разностные спектры в области плазмонного пика.

Дозы напыленного серебра (at./cm²): 1' — $6 \cdot 10^{13}$, 2 — $1.2 \cdot 10^{14}$, 3 — $7 \cdot 10^{14}$.

внимание уделялось регистрации энергетических сдвигов линий спектра серебра, которые, как показано в [^{3,6}], чувствительны к размеру кластеров.

Типичный спектр потерь энергии электронов в массивном серебре в диапазоне потерь $\Delta E < 10$ eV показан на рис. 1,а (кривая 4). Как видно, в нем доминирует линия при энергии 3.7 eV. Эта плазмонная мода, и она носит гибридный характер, отражая колебания свободного газа *s*-электрон Ag, связанные с межзонными переходами 4*d*-электронов на уровнях близких E_F , энергия которых $\gtrsim 3.9$ eV. В результате этого взаимодействия энергия плазмона $\hbar\omega_p$, определенная исходя из модели свободного электронного газа (один *s*-электрон на один атом Ag) и равная 9.2 eV, сдвигается к 3.8 eV. Соответствующая энергия поверхностного плазмона $\hbar\omega_s$ для этой гибридной моды колебаний равна 3.6 eV (вместо 6.2 eV для модели свободного электронного газа). Заметим, что близость значений $\hbar\omega_p$ и $\hbar\omega_s$ затрудняет разрешение данных мод. На динамике формирования и изменения этих плазменных колебаний с ростом размеров кластеров и было сосредоточено главное внимание в настоящей работе. Хотя в спектре характеристических потерь энергии Ag имеется также отчетливо выраженная потеря $\Delta E = 7.5$ eV, она,

однако, совпадает с одной из основных потерь энергии подложки — π -плазмоном, и это затрудняет ее исследование.

На рис. 1 представлена типичная серия спектров потерь энергии электронов, полученных при возрастании дозы нанесенного серебра и соответствующих росту среднего радиуса кластеров. Поскольку неупругое отражение электронов с возбуждением плазмонов представляет собой двухстадийный процесс, состоящий из упругого рассеяния электрона на большой угол и акта генерации плазмона почти без изменения импульса электрона, интенсивность наблюдаемого в спектре плазмонного пика пропорциональна току упруго отраженных электронов. Поэтому для корректного анализа интенсивностей потерь все спектры рис. 1, а нормированы на пик упругого отражения электронов. Для выявления размерных эффектов в спектре плазменных колебаний частиц серебра были построены разностные кривые (рис. 1, б), полученные вычитанием из измеренных спектров (рис. 1, а) спектра подложки. Эти кривые нормированы на пик плазмонных потерь.

Анализ таких данных показывает, что с увеличением среднего радиуса кластеров спектры претерпевают значительные изменения: заметно увеличивается интенсивность пика плазмонной потери; плазмон смещается в область более высоких частот колебаний, величина сдвига достигает 0.2 eV; уменьшается полуширина плазмонного пика, при этом наибольшие изменения претерпевает его низкоэнергетическая часть.

Динамика роста интенсивности рассматриваемой потери показана на рис. 2, где представлена также размерная зависимость сдвига энергии оже-электронов $AgM_{4,5}VV$, полученная в этом же опыте. Она рассмотрена нами в [3]. Как видно из этого рисунка, появление плазмонной потери в малых кластерах не носит порогового характера. Слабые пики, соответствующие ей, наблюдаются даже в области концентраций n , где серебро присутствует на поверхности только в виде одиночных адатомов и кластеров, состоящих лишь из нескольких атомов. Этот вывод подтверждается и тем, что, как видно из рис. 2, в данной области еще не начинается характерный сдвиг оже-линии $AgM_{4,5}VV$. Полученные результаты демонстрируют возможность возбуждения локаль-

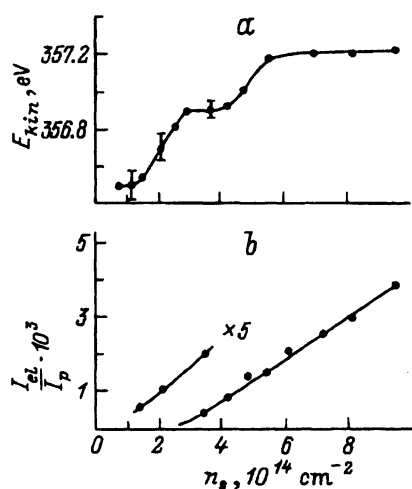


Рис. 2. Зависимость энергии оже-электронов $AgM_{4,5}VV$ от дозы напыленного на поверхности графита серебра (а). Зависимость интенсивности плазмонного пика потерь энергии электронов в кластерах серебра на графите от дозы напыления Ag (б).

ных плазмонов в очень малых кластерах серебра, сформированных на инертной подложке.

Для объяснения обнаруженных сдвига и сужения рассматриваемой потери важное значение имеет тот факт, что основные изменения происходят в области низкоэнергетического склона пика, где основной вклад вносит поверхностный плазмон. Поэтому наблюдаемый размерный эффект можно интерпретировать как высокочастотный сдвиг локальных мод поверхностных плазмонов. По-видимому, он обусловлен изменением профиля электронной плотности в области границы кластера при увеличении его размера [1]. Такое изменение может быть следствием перераспределения пространственной плотности s - и d -электронов Ag.

Определенное влияние на рассматриваемый эффект оказывает и изменение с радиусом кластера вероятности генерации в нем объемного плазмона. Поскольку средняя длина свободного пробега электронов до его возбуждения достаточно велика, составляя при данной энергии 18 Å, увеличение размера частиц приводит к возрастанию вклада этого канала.

Таким образом, в настоящей работе показано, что возбуждение локальных поверхностных плазмонов может происходить в кластерах, состоящих из нескольких атомов серебра. С ростом размера кластера поверхностный плазмон сдвигается в область более высоких частот. Величина сдвига составляет примерно 0.2 eV.

Работа поддержана Российским фондом фундаментальных исследований, проект № 93-02-2701.

Список литературы

- [1] Петров Ю.И. Физика малых частиц. М.: Наука, 1982. 360 с.
- [2] De Crescenzi M., Diociaiuti M., Lozzi L., Picozzi P., Santucci S. // Sol. St. Comm. 1990. V. 74. N 1. P. 115–121.
- [3] Гордеев Ю.С., Гомоюнова М.В., Микушкин В.М., Пронин И.И., Сысоев С.Е. // Письма в ЖТФ. 1994. Т. 20 (в печати).
- [4] Hamilton J.F., Logel P.C. // Thin Sol. Films. 1973. V. 16. N 1. P. 49–63.
- [5] Hamilton J.F., Logel P.C. // Thin Sol. Films. 1973. V. 23. N 1. P. 89–100.
- [6] Wertheim G.K., Cenzo S.B., Buchanan D.N.E. // Phys. Rev. 1986. V. 33. N 8. P. 5384–5390.

Физико-технический институт
им. А.Ф. Иоффе РАН
Санкт-Петербург

Поступило в Редакцию
28 декабря 1993 г.